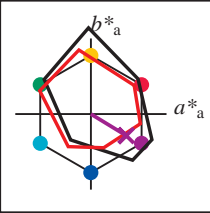


Ein- und Ausgabe: Drucker-Reflektiv-System FRS06a für relativen CIELAB-Bunnton $h_{ab,a,rel} = h_{ab}/360 = 328/360 = 0.91$

$H^*_e = B50R_e$

Daten für jede Geräte- (d) oder Elementarfarbe (e):

HIC^*_e
 Bunttext für die Farben dieser Seite:
 $H^*_e = B50R_e$
 Dreiecks-Helligkeit T^*



LRS18a; adaptierte CIELAB-Daten

Name	$L^*=L^*_a$	a^*_a	b^*_a	$C^*_{ab,a}$	$h^*_{ab,a}$
R _e ,Ma	47.5	56.0	26.7	62.1	25
Y _e ,Ma	83.6	-3.1	76.8	76.9	92
G _e ,Ma	53.8	-65.9	21.1	69.2	162
C _e ,Ma	54.9	-38.7	-29.1	48.4	216
B _e ,Ma	37.3	1.4	-48.6	48.7	271
M _e ,Ma	38.5	46.7	-28.5	54.7	328
N _e ,Ma	23.8	0.0	0.0	0.0	0
W _e ,Ma	95.8	0.0	0.0	0.0	0
R _e ,CIE	39.9	58.7	27.9	65.0	25
Y _e ,CIE	81.2	-2.8	71.5	71.6	92
G _e ,CIE	52.2	-42.4	13.6	44.5	162
B _e ,CIE	30.5	1.4	-46.4	46.4	271

Daten für Maximalfarbe (Ma):

$LabCh^*_{e,Ma}: 38\ 46\ -28\ 54\ 328$
 $HIC^*_{e,Ma}: B50R_100_100_e$
 $rgbic^*_{e,Ma}: 0.58\ 0.0\ 1.0\ 1.0\ 1.0$

LRS18a; adaptierte CIELAB-Daten

H^*_e	$L^*=L^*_a$	a^*_a	b^*_a	$C^*_{ab,a}$	$h^*_{ab,a}$
R00Y_100_100 _e	47.5	56.0	26.7	62.1	25
R25Y_100_100 _e	51.4	54.8	47.7	72.6	41
R50Y_100_100 _e	61.8	35.2	58.4	68.2	58
R75Y_100_100 _e	72.3	16.1	68.2	70.1	76
Y00G_100_100 _e	83.6	-3.1	76.8	76.9	92
Y25G_100_100 _e	85.8	-26.4	78.5	82.9	108
Y50G_100_100 _e	71.0	-41.7	54.8	68.9	127
Y75G_100_100 _e	59.9	-58.2	39.3	70.2	145
G00B_100_100 _e	53.8	-65.9	21.1	69.2	162
G25B_100_100 _e	55.0	-51.6	-8.7	52.3	189
G50B_100_100 _e	54.9	-38.7	-29.1	48.4	216
G75B_100_100 _e	51.7	-23.3	-48.6	53.9	244
B00R_100_100 _e	37.3	1.4	-48.6	48.7	271
B25R_100_100 _e	31.5	24.4	-41.9	48.5	300
B50R_100_100 _e	38.5	46.7	-28.5	54.7	328
B75R_100_100 _e	49.4	65.5	-9.1	66.2	352

Dreiecks-Helligkeit T^*
 %Umfang $u^*_{rel} = 114$
 %Regularität $g^*_{H,rel} = 28$
 $g^*_{C,rel} = 38$

